

کاربرد روش کانترویچ توسعه یافته در حل خمش صفحات رایسنر

دکتر محمود شاکری

استاد یار دانشکده مهندسی مکانیک دانشگاه صنعتی امیرکبیر

دکتر شهریار فریبورز

استاد یار دانشکده مهندسی مکانیک دانشگاه صنعتی امیرکبیر

مهندس محمد محمدی اقدم

آزمایشگاه مقاومت مصالح دانشکده مهندسی مکانیک دانشگاه صنعتی امیرکبیر

چکیده

روش کانترویچ توسعه یافته^۱ جهت آنالیز خمش صفحات مستطیل شکل (با شرط مرزی گیردار)، با درنظر گرفتن اثرات تغییر فرم‌های برشی^۲ مورد استفاده قرار گرفته و حل تقریبی به شکل بسته^۳ برای این صفحات ارائه شده است. همچنین همگرائی سریع و نیز مستقل بودن جوابهای نهایی از حدس اولیه که از مشخصات عمدۀ این متد است، نشان داده شده است. با کوچک گرفتن ضخامت ورق (حذف تقریبی اثرات تغییر فرم‌های برشی) جوابهای مسئله با جوابهای تئوری صفحات کلاسیک^۴ مقایسه گردیده است.

Application of Extended Kantorovich Method to the Bending of Reissner's Plates

M.Shakeri Ph.D

Assis.Prof.of Mech.Eng.Dept.Amirkabir university of Technology

Sh. Fariborz Ph.D.

Assis.Prof. of Mech.Eng.Dept. Amirkabir University of Technology

M.Mohammadi Aghdam M.Sc.

Lecturer of Mech.Eng. Dept.Amirkabir university of Technology

Abstract:

The extended Kantorovich method has been used to analyze the bending of rectangular plates (with clamped boundary Conditions) with the effect of shear deformation, and an approximate closed form solution has been presented.

Also, the rapid convergence and independence of final results from initial guesses which are the main characteristics of this method have been shown.

By selecting thin plates, (ignoring the effect of shear deformation) the results of the problem have been compared with those of classical plate theory.

تئوری رایسنر [5]، به صورت زیر در نظر گرفت:

مقدمه

$$\begin{aligned} \Phi_x + W, x &= B^* Q_x \\ \Phi_y + W, y &= B^* Q_y \\ M_{xx} &= D^*(\Phi_x, x + v^* \Phi_y, y + C^* q) \\ M_{yy} &= D^*(\Phi_y, y + v^* \Phi_x, x + C^* q) \\ M_{xy} &= D^*(\Phi_x, y + \Phi_y, x) / (2*(1-v)) \\ M_{xx}, x + M_{xy}, y &= Q_x \\ M_{xy}, x + M_{yy}, y &= Q_y \\ Q_x, x + Q_y, y &= -q \end{aligned} \quad (1)$$

در این روابط Φ_x و Φ_y و W شبیه و خیز ورق، Q و M نیروهای برشی عرضی و ممانهای خمشی در ورق، h ضخامت، E مدول الاستیسیته و v نسبت پواسون و q بار خارجی می باشد. اندیس کاما نشانگر مشتق جزئی بوده و ثابت‌های C و B و D مقادیر زیر را دارا هستند:

$$D = E^* h^3 / (12 * (1 - v^2))$$

$$B = 12 * (1 + v) / (5 * E^* h)$$

$$C = 6 * v^* (1 + v) / (5 * E^* h)$$

روش حل

برای یک صفحه مستطیل شکل به ابعاد $*h$ L_x و L_y و با شرایط مرزی چهار طرف گیردار مقادیر W Φ_x و Φ_y در روی مرزها صفر می باشد. در این صورت با حذف ممانها و نیروهای برشی عرضی در روابط (1) سه رابطه شامل سه مجهول W و Φ_x و Φ_y و

تاکنون روش‌های متنوعی برای حل معادلات دیفرانسیل حاکم بر صفحات با تصورهای مختلف ارائه شده است. این روشها عمدهاً بر مبنای فرمولبندی المانهای محدود^۵ استوار می باشند. در اینجا تکنیک تقریبی دیگری تحت عنوان «روش کانترویچ توسعه یافته»^۶ برای حل معادلات صفحات مستطیل شکل در نظر گرفته شده است. این روش به صورت تکرار^۷ و با استفاده از متدهای قیمانده‌های وزن دار به حل مسئله می پردازد. در این روش برخلاف روش‌های دیگر، مثل روش گالرکین، جوابهای نهایی کاملاً مستقل از حدس اولیه بوده و نیازی به ارضا شرایط مرزی توسط توابع اولیه نمی باشد، ولیکن به دلیل آن که در اینجا نیاز به حل سیستم معادلات دیفرانسیل معمولی بجای سیستم معادلات جبری است، روش حل مشکلتر از روش گالرکین خواهد بود. از این روش تاکنون جهت حل پیچش مقاطع مستطیل شکل [1]، آنالیز تنش صفحات کلاسیک گیردار [2]، مسایل مقدار ویژه نظیر ارتعاشات و آنالیز کمانش صفحات مستطیل شکل [3]، و نیز آنالیز صفحات کلاسیک با ضخامت متغیر [4]، استفاده شده است. باید توجه داشت که در تمامی این موارد از این روش جهت حل یک معادله دیفرانسیل پاره‌ای استفاده شده و حال آنکه در این مقاله این روش جهت حل سیستم معادلات پاره‌ای بکار رفته است.

مبنای تئوری

معادلات حاکم بر صفحات ضخیم را می‌توان بر مبنای

$$\delta_3(x) = \sum \beta_i * A_i * \text{EXP}(\lambda_i * X) \quad i=1,6$$

که در آن ضرایب A_i باتوجه به نوع بارگذاری و یافتن حل خصوصی مسأله و اعمال شرایط مرزی قابل محاسبه خواهد بود.
 λ_i نیز مقادیر ویژه مسأله بوده و ضرایب α_i و β_i به صورت زیر می باشند: (v)

$$\alpha_i = (C_1(C_3F_6\lambda_i)(F_1\lambda_i^2 + F_7) + F_5(C_1C_2F_4\lambda_i)) / S_i$$

$$\beta_i = (-F_4\lambda_i)(C_1C_2F_4\lambda_i) - C_1(F_1\lambda_i^2 + F_7)(F_2\lambda_i^2 + C_5) / S_i$$

که در آن:

$$S_i = F_5(F_2\lambda_i^2 + C_5) - (F_4\lambda_i)(C_3F_6\lambda_i) \quad i=1,6$$

برای مثال اگر بارگذاری ثابت q_0 درنظر گرفته شود، حل خصوصی مسأله به صورت زیر خواهد شد:

$$\delta_{01} = C_6 * K_1 / (C_1 * (F_7C_6 - C_2F_5^2))$$

$$\delta_{02} = 0.0 \quad \delta_{03} = -C_2F_5K_1 / (F_7C_6 - C_2F_5^2) \quad (8)$$

با جمع روابط (6) و (8) حل مسأله درجهت X بدست می آید.
 حال با جاگذاری حل بدست آمده درجهت X در روابط (4) و ضرب طرفین این روابط به ترتیب در توابع وزنی δ_1 و δ_2 و δ_3 انتگرال گیری در طول صفر تا L_x ، نتیجه خواهد شد:

$$C_1(G_1d_2^2 + G_7)\Psi_1 + G_5\Psi_2 + G_4d_2(\Psi_3) = P_1$$

$$C_1C_2G_5\Psi_1 + (C_4G_2d_2^2 + H_5)\Psi_2 + C_3G_6d_2(\Psi_3) = P_2$$

$$-C_1C_2G_4d_2(\Psi_1) - C_3G_6d_2(\Psi_2) + (G_3d_2^2 + H_6)(\Psi_3) = P_3 \quad (9)$$

ضرایب G_i و H_i در پیوست (1) تعریف شده‌اند. و d_2 اپراتور دیفرانسیل نسبت به y می باشد. باتوجه به نوع بارگذاری حل کامل روابط (9) به صورت زیر است:

$$\Psi_1(y) = \sum B_i * \text{EXP}(\sigma_i * Y) + (P_1H_5 / (C_1(G_7H_5 - C_2G_5^2)))$$

$$\Psi_2(y) = \sum \gamma_i * B_i * \text{EXP}(\sigma_i * Y) - (C_2G_5P_1 / (G_7H_5 - C_2H_5^2)) \quad (10)$$

$$\Psi_3(y) = \sum \eta_i * B_i * \text{EXP}(\sigma_i * Y) \quad i=1,6$$

در روابط (10)، ضرایب B_i مشابه ضرایب A_i با اعمال شرایط مرزی به دست آمده و σ_i مقادیر ویژه مسأله درجهت Y و γ_i و

Φ_y به صورت زیر نتیجه می شود:

$$\Phi_{x,x} + W_{xx} + \Phi_{y,y} + W_{yy} = B^*q$$

$$\Phi_{x,xx} + (1+\nu)*\Phi_{y,xy}/2 + (1-\nu)/2$$

$$*\Phi_{x,yy} - (\Phi_x + W_{,x})/(B^*D) = -C^*q_{,x} \quad (2)$$

باتوجه به روش کانترویچ، توابع خیز و شبیه را می توان به صورت توابع جدایی پذیر و بدون بعد زیر درنظر گرفت:
 $W(x,y) = \sqrt{(L_x * L_y)} \delta_1(x)\Psi_1(y) \quad (3)$

$$\Phi_x(x,y) = \delta_2(x)\Psi_2(y)$$

$$\Phi_y(x,y) = \delta_3(x)\Psi_3(y)$$

با جاگذاری روابط (3) در روابط (2) نتیجه می شود:

$$C_1(\Psi_1 d^2 \delta_1 / dx^2 + \delta_1 d^2 \Psi_2 / dy^2) + \Psi_2 d\delta_2 / dx + \delta_3 d\Psi_3 / dy = -B^*q$$

$$\Psi_2(d^2 \delta_2 / dx^2) + C_3 d\delta_3 / dx d\Psi_3 / dy + C_4 \delta_2 d^2 \Psi_2 / dy^2 - C_2(\delta_2 \Psi_2 + C_1 \Psi_1 d\delta_1 / dx) = -C^*dq / dx \quad (4)$$

$$\delta_3(d^2 \Psi_3 / dy^2) + C_3 d\delta_2 / dx d\Psi_2 / dy + C_4 \Psi_3 d^2 \delta_3 / dx^2 - C_2(\delta_3 \Psi_3 + C_1 \delta_1 d\Psi_1 / dy) = -C^*dq / dy$$

حال اگر روابط فوق به ترتیب در Ψ_1 و Ψ_2 و Ψ_3 ضرب شده و در

طول صفر تا L_y انتگرال گیری شوند، نتیجه خواهد شد:

$$C_1(F_1d_1^2 + F_7)\delta_1 + F_4d_1(\delta_2) + F_5 = K_1$$

$$-C_1C_2F_4d_1(\delta_1) + (F_2d_1^2 + C_5)\delta_2 + C_3F_6d_1(\delta_3) = K_2 \quad (5)$$

$$C_1C_2F_5\delta_1 - C_3F_6d_1(\delta_2) + (C_4F_3d_1^2 + C_6)\delta_3 = K_3$$

ضرایب i و C_i و F_i در پیوست (1) مقاله تعریف شده‌اند و d_1

در این معادلات اپراتور دیفرانسیل نسبت به X می باشد. با حل

روابط (5) جوابها درجهت X محاسبه خواهند شد. حل عمومی

روابط (5) به صورت زیر است:

$$\delta_1(x) = \sum A_i * \text{EXP}(\lambda_i * X)$$

$$\delta_2(x) = \sum \alpha_i * A_i * \text{EXP}(\lambda_i * X) \quad (6)$$

η_i به صورت زیر خواهد بود:

(11)

$$\begin{aligned}\gamma_i &= (C_1(G_1\sigma_i^2 + G_7)(C_3G_6\sigma_i) - (G_4\sigma_i)(C_1C_2G_5)) / U_i \\ \eta_i &= ((C_1C_2G_5^2) - (C_1(G_1\sigma_i^2 + G_7)(C_4G_2\sigma_i^2 + H_5))) / U_i\end{aligned}$$

که در آن:

$$U_i = (G_4\sigma_i)(C_4G_2\sigma_i^2 + H_5) - C_3G_5G_6\sigma_i \quad i=1,6$$

حال می توان مجدداً مانند روش فوق جوابهای بدست آمده درجهت Y را برای بهتر نمودن تقریب جوابهای جهت X بکاربرد و جوابهای تقریب دوم X را برای بدست آوردن تقریب بعدی درجهت Y استفاده نمود. پس از چند بار تکرار (در اینجا سه بار)، این عمل، ضرایب بدست آمده به سمت مقادیر ثابتی می کنند. درنهایت با جاگذاری آخرین جوابهای $(x)_i$ و $(y)_i$ در روابط (3) مقادیر خیز و شبیها برای ورق به صورت توابع به شکل بسته محاسبه خواهند شد. با مشخص شدن خیز و شبیها و به کمک روابط (1) می توان ممانها و نیروهای برشی عرضی را نیز به فرم بسته محاسبه نمود.

نتایج عددی

جل معادلات (4) با حدس اولیه زیر برای توابع z لاشروع می شود:

$$\begin{aligned}\Psi_1(y) &= \sin(\pi y / L_y) \\ \Psi_2(y) &= L_y - y \\ \Psi_3(y) &= \cos(\pi y / L_y)\end{aligned} \quad (12)$$

باتوجه به شکل توابع دیده می شود که، توابع Ψ_2 و Ψ_3 شرایط مرزی مسئله را ارضاء نمی کنند، عدم ارضاء شرط مرزی توسط حدس اولیه و نیز همگرایی سریع جوابها برای تابع Ψ_2 در منحنیهای شکل (1) نشان داده شده است.

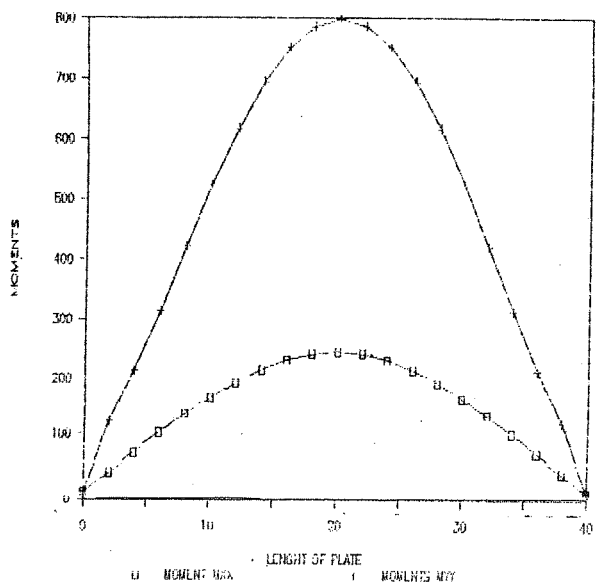
از عوامل عمده تحلیل ورق، محاسبه خیز ماکزیمم و تنشها یا ممانهای ماکزیمم در آن است. این مقادیر برای ورق مریع شکل به ابعاد $5\text{in} * 40 * 10\text{e}^{-3}$ و با مشخصات $q_0 = 10.0\text{Psi}$ و $E = 30 * 10^6\text{Psi}$ دست آمده برای حالات زیر رسم گردیده است:

- خیز ورق در زاستای $y/L_y = 2$ در شکل (2) نشان داده شده

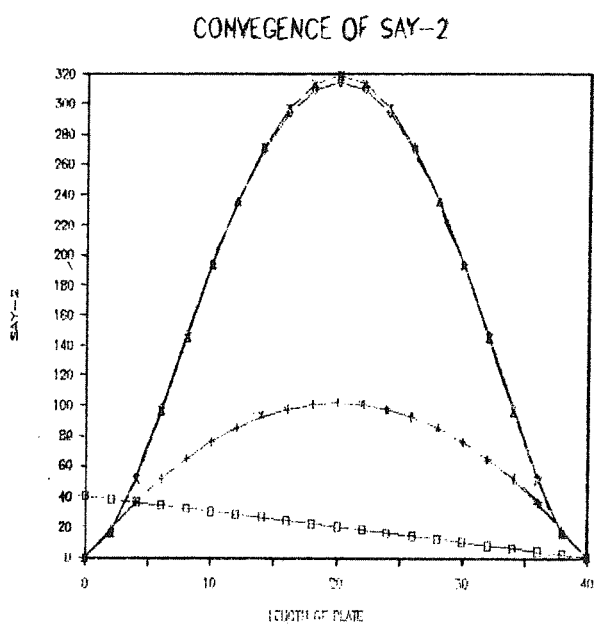
است.
- ممانهای M_{xx} و M_{yy} در راستای $y=0$ در شکل (3) نشان داده شده است.

- توزیع ممانهای خمشی و پیچشی نرمالیزه شده در امتداد قطر ورق در شکل (4) رسم شده است. در این شکل مقدار $M_{x_{max}} = 385.4$ lb و $M_{y_{max}} = 385/4$ lb است. به طوری که از شکلهای (3) و (4) مشخص است، مقدار ماکزیمم ممانهای خمشی در وسط اضلاع مریع بوده و مقدار آن 797.7 است.

برای بررسی اثرات تغییر فرم‌های برشی در ورق و نیز مقدار خطای تئوری کلاسیک دو حالت متفاوت در ورق مورد مطالعه قرار گرفته است. در حالت اول با کم کردن ضخامت نسبی ورق $(a/h=50)$ و در نتیجه حذف تقریبی اثر تغییر فرم برشی، مقدار ماکزیمم خیز و ممانهای خمشی محاسبه شده و همراه با نتایج تئوری کلاسیک $[6]$ ، در جدول (1) ارائه گردیده است. به طوری که از نتایج پیداست، تئوری کلاسیک برای ضخامت‌های کم از دقت خوبی برخوردار بوده و حد اکثر اختلاف دو تئوری حدود 4.3% می باشد. و در حالت دوم خیز ماکزیمم نرمالیزه شده در ورق مریع شکل براساس دو تئوری کلاسیک و تئوری تغییر فرم‌های برشی بر حسب نسبت a/h محاسبه و در شکل (5) رسم شده است. این منحنی، انطباق نتایج دو تئوری در ضخامت‌های کم و خطای زیاد تئوری کلاسیک را در ضخامت‌های زیاد بخوبی نشان می دهد. به طوری که از نتایج دیده می شود، تا نسبت $a/h=10$ تئوری کلاسیک حد اکثر خطای 16.6% را نشان می دهد و در نتیجه تا این نسبت در تحلیل ورق قابل استفاده است و برای مقادیر $a/h < 10$ باید نتایج تئوری کلاسیک اصلاح گردد. در خاتمه برای نشان دادن دقت این روش، مقدار خیز و تنش محوری نرمالیزه شده برای مرکز ورق مریع شکل با نسبت $a/h=10$ از این روش محاسبه و همراه با نتیجه روش المانهای محدود $[7]$ در جدول (2) ارائه شده است.

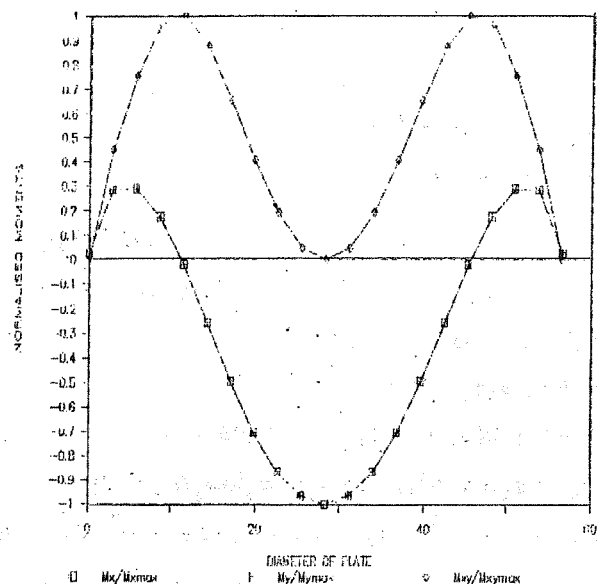


شکل ۳- منحنی ممانهای M_{xx} و M_{yy} در راستای $y=0$ برای ورق مربع شکل برا اساس SDPT

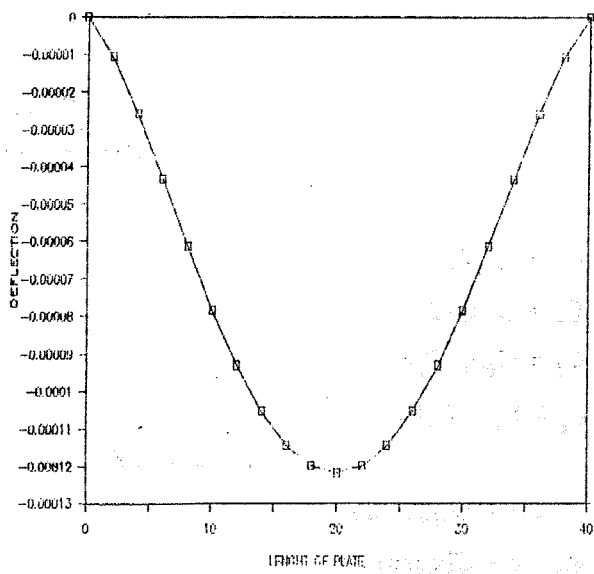


□ initial guess + first iteration
△ second iteration * third iteration

شکل ۱- حدس اولیه و سه تکرار اول برای تابع $\Psi_2(y)$



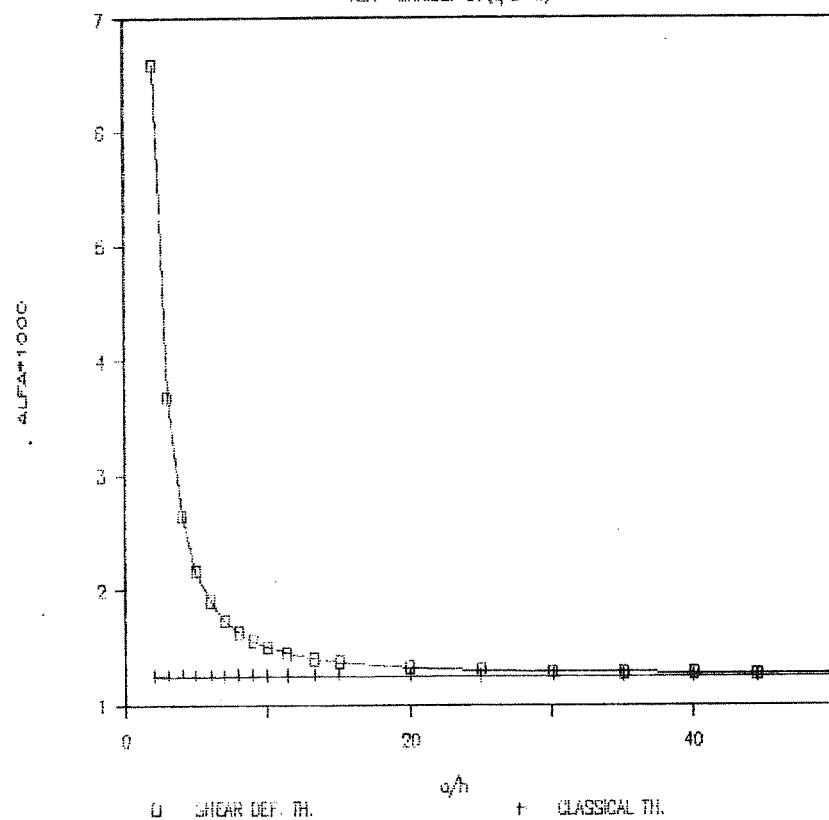
شکل ۴- توزیع ممانهای خمشی و پیچشی در راستای قطر ورق مربع برا اساس SDPT



شکل ۲- منحنی خیز ورق مربع شکل در راستای $y=L_y/2$ برا اساس SDPT

DEFLECTION OF SQUARE ISOTROPIC PLATE

$$\text{ALFA} = \text{MAX.DEF}*D / (q^*a^4)$$



شکل ۵- خیز ماکریم ورق مربع براساس دو تئوری CPT و SDPT
برحسب نسبت ضلع به ضخامت ورق.

(۱) پوست:

ضرایب F_i در روابط (۵) :

$$C_3 = (1+\nu)/2$$

$$F_i = \int \psi_i^2 dy \quad i=1,3$$

$$C_4 = (1-\nu)/2$$

$$F_4 = \int \psi_1 \psi_2 dy$$

$$C_5 = C_4 F_8 - C_2 F_3$$

$$F_5 = \int \psi_1 (d\psi_3/dy) dy = - \int \psi_3 (d\psi_1/dy) dy$$

$$C_6 = F_9 - C_2 F_3$$

$$F_6 = \int \psi_2 (d\psi_3/dy) dy = - \int \psi_3 (d\psi_2/dy) dy$$

$$K_1 = \int -B^* q \psi_1 dy$$

$$F_{6+i} = \int \psi_i (d^2 \psi_i / dy^2) dy = - \int (d\psi_i / dy)^2 dy \quad i=1,3$$

$$K_2 = \int -C(dq/dx) \psi_2 dy$$

$$\text{ضرایب } C_i \text{ در روابط (۴) و (۵) :}$$

$$K_3 = \int -C(dq/dy) \psi_3 dy$$

$$C_1 = \sqrt{(L_x^* L_y^*)}$$

$$\text{ضرایب } G_i \text{ در روابط (۶) :}$$

$$C_2 = 1/(B^* D)$$

$$H_5 = G_8 - C_2 G_2$$

$$H_6 = C_4 G_9 - C_2 G_3$$

$$P_1 = \int -B^* q \delta_1 \, dx$$

$$P_2 = \int -C(dq/dx) \delta_2 \, dx$$

$$P_3 = \int -C(dq/dy) \delta_3 \, dx$$

$$G_i = \int \delta_i^2 \, dx \quad i=1,3$$

$$G_4 = \int \delta_1 \delta_3 \, dx$$

$$G_5 = \int \delta_1 (d\delta_2/dx) \, dx = - \int \delta_2 (d\delta_1/dx) \, dx$$

$$G_6 = \int \delta_2 (d\delta_3/dx) \, dx = - \int \delta_3 (d\delta_2/dx) \, dx$$

$$G_{6+i} = \int \delta_i (d^2 \delta_i / dx^2) \, dx = - \int (d\delta_i / dy)^2 \, dx \quad i=1,3$$

ضرایب H_i در روابط (۱)

LX/LY	DEFLECTION \bar{W}		MOMENT \bar{M}_{xx}		MOMENT \bar{M}_{yy}	
	X=LX/2, Y=LY/2	TIMO. PRESET	Y=LY/2 X=0.0	TIMO. PRESET	X=LX/2 Y=0.0	TIMO. PRESET
1.	.00126	.00127	.0513	.0522	.0513	.0522
1.1	.00150	.00151	.0581	.0589	.0538	.0544
1.2	.00172	.00171	.0639	.0645	.0554	.0556
1.3	.00191	.00192	.0687	.0702	.0563	.0571
1.4	.00207	.00207	.0726	.0741	.0568	.0575
1.5	.00220	.00222	.0757	.0782	.0570	.0578
1.6	.00230	.00226	.0780	.0786	.0571	.0567
1.7	.00238	.00235	.0799	.0809	.0571	.0572
1.8	.00245	.00246	.0812	.0840	.0571	.0583
1.9	.00249	.00259	.0822	.0859	.0571	.0596
2.0	.00254	.00261	.0829	.0859	.0571	.0597

جدول ۱- مقایسه خیز و مانهای ماکریم نرمالیزه شده در ورق گیردار با $v=0.3$ و

$$M_{yy} = \bar{M}_{yy} * q_0 * a^2 \text{ و } M_{xx} = \bar{M}_{xx} * q_0 * a^2 \text{ و } W = \bar{W} * q_0 * a^4 / D \text{ و } a/h = 50.0$$

	DEFLECTION \bar{W}	NORMAL STRESS S_x
Reddy.	0.1495	1.333
Present.	0.1502	1.352

جدول ۲- مقایسه خیز و تنش محوری در ورق مریع شکل گیردار

با $a/h = 10.0$ و $E = 3 \times 10^7$ و $v = 0.3$ در این جدول

$$W = W(a/2, a/2) D * 100 / qa^4$$

$$\text{و } S_x = S_x(a/2, a/2, h/2) * 10h^2 / qa^2 \text{ است.}$$

1. Extended Kantorovich method.(EKM)
2. Shear deformation plate theory. (SDPT)
3. Closed form solution.
4. Classical plate theory. (CPT)
5. Finite Element Formulation.
6. Iterative.

منابع :

- [1]- A.D., Kerr, An extension of Kantorovich method. **Quart. appl. Math.** 26, 219-229 (1968).
- [2]- A. D. Kerr & H. Alexander, An application of the extended Kantorovich method to the stress analysis of a clamped rectangular plate. **Acta Mech.** 6,180-196 (1968).
- [3]- A. D. Kerr, An extended Kantorovich method for the solution of eigenvalue problems. **Int.J. Solids Struct.** 5,339-572 (1969).
- [4]- S.J. Fariborz & A. Pourbohloul, Application of the extended Kantorovich method to the bending of variable thickness plates. **Comp. & struct.** 31, 957-965 (1989).
- [5]- E. Reissner, Reflection on the theory of elastic plates. **Appl. Mech. Rev.** 38, 1453-1464 (1985).
- [6]- S. Timoshenko & S. Woinowsky - Krieger, Theory of plates & Shells. pp. 202. McGraw-Hill, New York (1959).
- [7]- J.N. Reddy, Applied functional analysis and variational methods in engineering. pp. 483. McGraw-Hill, N.Y. (1986).